

Modelowanie ciągłych i dyskretnych regulatorów PID w programie Matlab Simulink z wykorzystaniem techniki anti-windup

1. Cel ćwiczenia

Modelowanie i projektowanie ciągłego regulatora PID o dwóch stopniach swobody oraz regulatora PID wykorzystując technikę anti-windup współpracującym z obiektem inercyjnym 3-go rzędu. Realizacja dyskretnego regulatora PID stosując dyskretyzację metodą Tustina oraz metodą ekstrapolatora zerowego rzędu. Dobór czasu próbkowania.

2. Regulatory PID

2.1 Regulator PID o jednym stopniu swobody (PID 1DOF)

Regulator o jednym stopniu swobody oznacza jednakowe przetwarzanie sygnału zadanego y_{ref} oraz wyjściowego y przez regulator G_R . W układzie sterowania występuje jeden sygnał uchyby regulacji ε .

Regulator PID w dziedzinie czasu opisywany jest przez wyrażenie:

$$u(t) = K_R \left(\varepsilon(t) + \frac{1}{T_i} \int_0^t \varepsilon(\tau) d\tau + T_d \frac{d\varepsilon(t)}{dt} \right) \quad (1)$$

gdzie,

K_R – wzmacnienie regulatora,

T_i – czas zdwojenia,

T_d – czas wyprzedzenia,

Natomiast w dziedzinie operatorowej regulator PID przyjmuje postać:

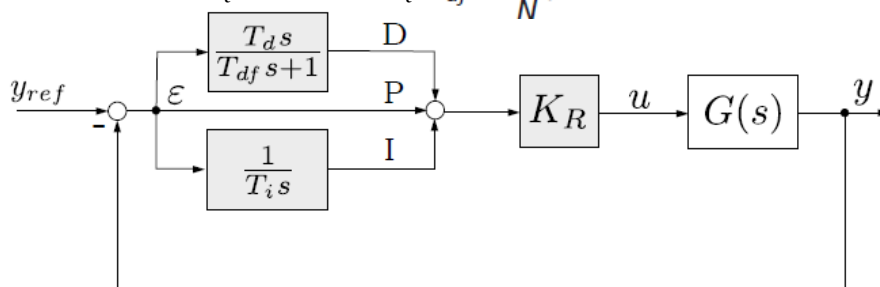
$$u(s) = K_R \left(\varepsilon(s) + \frac{1}{T_i s} \varepsilon(s) + T_d s \varepsilon(s) \right), \quad G_R(s) = \frac{u(s)}{\varepsilon(s)} = K_R \left(1 + \frac{1}{T_i s} + T_d s \right) \quad (2)$$

Zarówno wyrażenie (1) i (2) zawierając idealną pochodną, która jest nierealizowalna w rzeczywistych układach. Stąd ten element zastępuje się elementem inercyjno – różniczkującym w postaci:

$$T_d s \approx \frac{T_d s}{T_{df} s + 1} \quad (3)$$

gdzie,

$T_{df} < T_d$. Często określa się $T_{df} = \frac{T_d}{N}$, $N \in \mathbb{N}$.



Rys.1 Rzeczywisty regulator PID o jednym stopniu swobody współpracujący z obiektem regulacji

o transmitancji $G(s)$

2.2 Regulator PID o dwóch stopniach swobody (PID 2DOF)

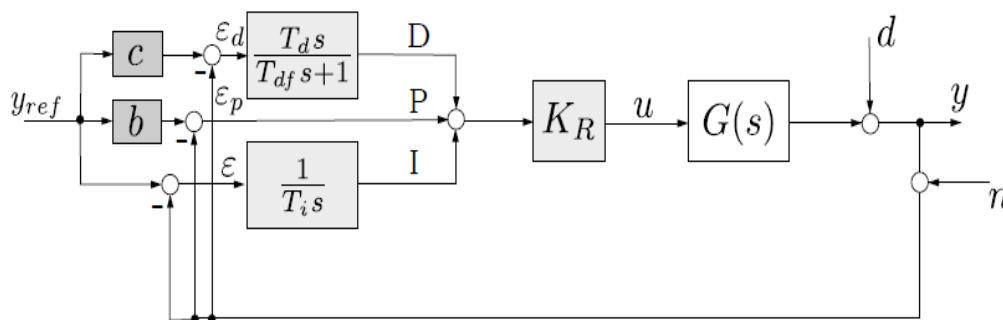
Ideą działania regulatora PID 2DOF jest różne przetwarzanie sygnału wartości zadanej y_{ref} oraz sygnały wyjściowego y . Operatorowa postać takiego regulatora przyjmuje postać:

$$u(s) = K_R \left(\underbrace{by_{ref}(s) - y(s)}_{\varepsilon_p} + \frac{1}{T_i s} \varepsilon(s) + \frac{T_d s}{T_{df} s + 1} \underbrace{(cy_{ref}(s) - y(s))}_{\varepsilon_d} \right) \quad (4)$$

gdzie,

b i c są współczynnikami wagowymi członu różniczkującego i proporcjonalnego.

Najczęściej współczynnik wagowy członu proporcjonalnego wynosi $0 < b < 1$, natomiast $c = 0$. W przypadku idealnym, gdy regulator nie posiada żadnych ograniczeń najlepsze nadążanie osiąga się dla $c = 1$, ale sterowanie u (rys.2) posiada duże wartości, które w rzeczywistych układach nie może być zrealizowane. Stąd w praktycznych zastosowaniach stosuje się $c = 0$

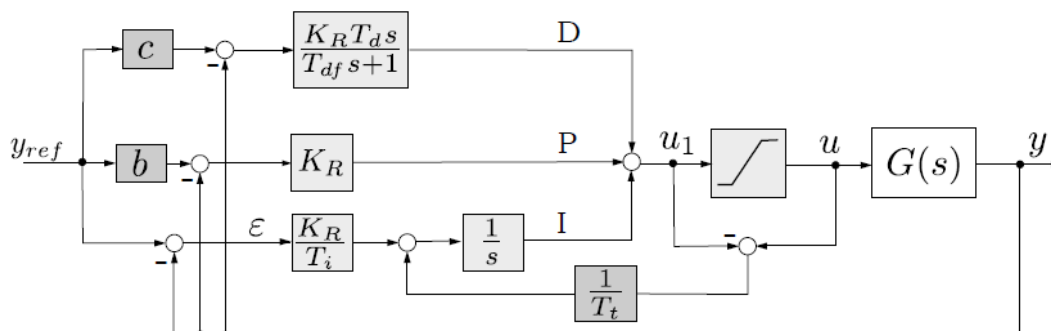


Rys.2 Rzeczywisty regulator PID o dwóch stopniach swobody współpracujący z obiektem

Regulacji o transmitancji $G(s)$

2.3 Regulator PID anti-windup (PID 2DOF)

Technika anti-windup polega na ograniczeniu zbyt dużego całkowania w regulatorze PID 2DOF (rys.3)



Rys.3 Rzeczywisty regulator PID o dwóch stopniach swobody współpracujący z obiektem regulacji

o transmitancji $G(s)$ wykorzystujący technikę anti-windup

Układ anti-windup wykorzystuje dodatkowe sprzężenie zwrotne $\frac{1}{T_t}$ nazywane torem śledzącym. Gdy wartość sygnału u_1 jest większa od sygnału u na wejście integratora $\frac{1}{s}$ podawany jest dodatkowy sygnał o przeciwnym znaku, który powoduje spowolnienie lub blokadę procesu całkowania. Rozwiązanie to polepsza pracę układu zwłaszcza przy dużych wartościach zadanych.

3. Dyskretyzacja transmitancji i dobór czasu próbkowania

Twierdzenie 1. O próbkowaniu: Każda funkcja dolnopasmowa może być dowolnie dokładnie odtworzona z ciągu próbek jeżeli częstotliwość próbkowania jest większa bądź równa podwójnej częstotliwości granicznej sygnału: $\Omega_p \geq 2\Omega_g$

Uwzględniając zjawisko aliasingu w układach automatyki stosuje się zwykle częstotliwości próbkowania równe $\Omega_p \geq 10\Omega_g$. Częstotliwość Ω_g wyznacza się z częstotliwościowej charakterystyki Bodego.

W obiektach inercyjnych dobór czasu próbkowania można realizować według :

$$T_p = \frac{T_{min}}{N} \quad (5)$$

gdzie,

T_{min} – najmniejsza stała czasowa obiektu inercyjnego

N – liczba próbek . Dla obiektu inercyjnego 3-go rzędu $15 \geq N \geq 4$

Dyskretyzację transmitancji realizować można wieloma metodami. Wyznaczenie dyskretnej transmitancji $G(z)$ wykonuje się za pomocą :

- metoda ekstrapolatora zerowego rzędu

$$G(z) = \frac{z-1}{z} \cdot \mathcal{Z} \left[\mathcal{L}^{-1} \left\{ \frac{G(s)}{s} \right\} \right] \quad (6)$$

- metoda Tustina

$$s' = \frac{2}{T_s} \frac{z-1}{z+1} \quad (7)$$

4. Przebieg ćwiczenia

- Wykorzystując narzędzie Matlab Simulink zamodelować regulator ciągły PID 2DOF z wykorzystaniem techniki anti-windup (rys.3) oraz PID 2DOF windup (rys.2) współpracujący z obiektem o transmitancji:

$$G(s) = \frac{1}{(2.2s + 1)(s + 1)(0.25s + 1)} \quad (8)$$

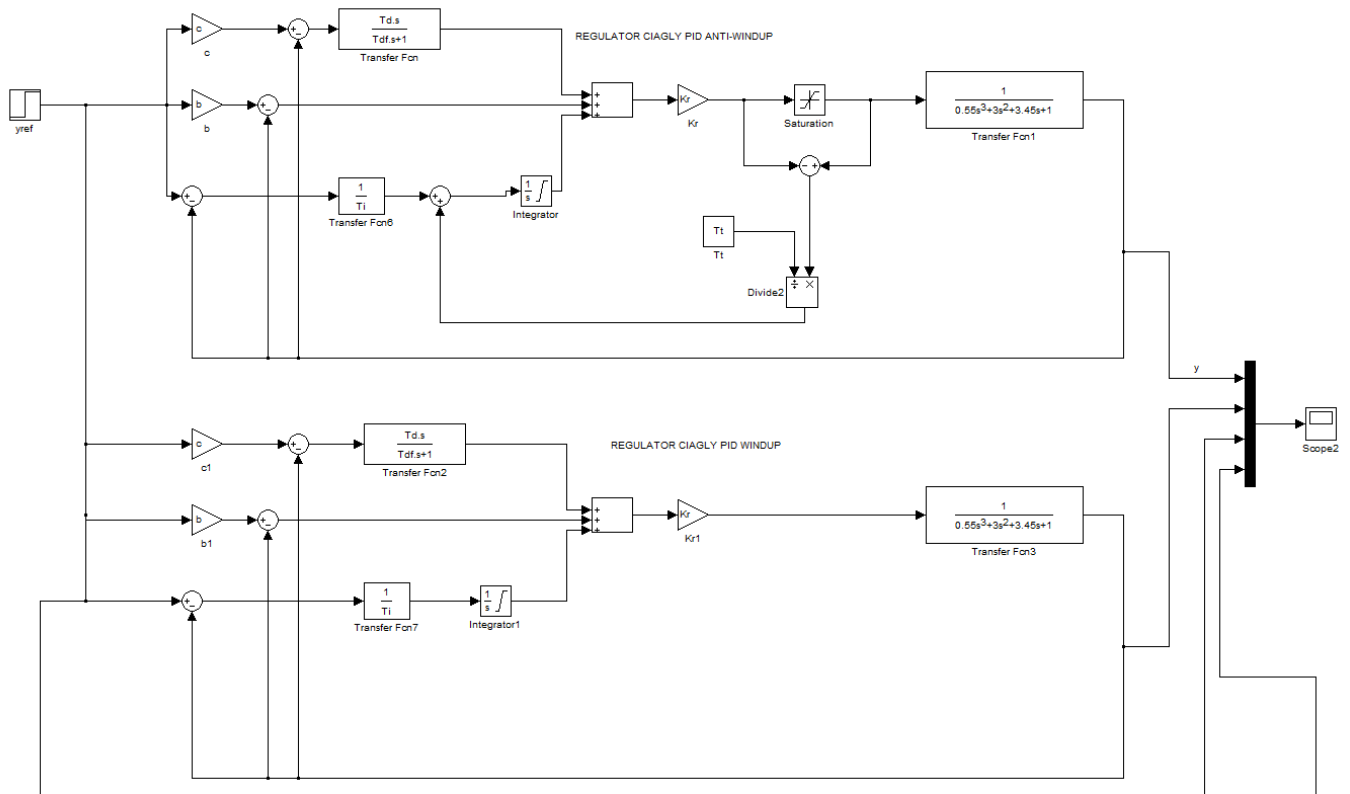
- Wykorzystując metodę Tustina oraz ekstrapolatora zerowego rzędu przeprowadzić dyskretyzację regulatora PID anti-windup
- Zamodelować dyskretnę wersję regulatora PID anti-windup współpracującą z obiektem o transmitancji (8) i porównać z regulatorami ciągłymi na jednym rysunku
- Przeanalizować wpływ zmian:
 - parametrów regulatora PID 2DOF (K_r, T_i, T_d),
 - parametrów wagowych b i c członu proporcjonalnego i różniczkującego,
 - parametru T_t w układzie anti-windup,
 - czasu próbkowania T_p (zmniejszenie czasu próbkowania)

W sprawozdaniu należy zamieścić wyżej wymienione podpunkty oparte na obliczeniach i rysunkach. Zamieścić stosowne wnioski i spostrzeżenia.

Podczas modelowania w Matlab Simulink zaleca się do bloków wpisywać parametry tekstowe, aby za pomocą m-pliku w łatwy sposób zmieniać parametry całego układu regulacji. Przykładowy m-plik wraz z nastawami regulatora przedstawiono poniżej, natomiast przykładowy schemat blokowy regulatora ciągłego PID2 DOF zamieszczono na rysunku 4

```
clc
clear all

c=0           % współczynnik wagowy członu różniczkującego
b=1           % współczynnik wagowy członu proporcjonalnego
yref=0.5      % zadana wartość referencyjna
Kr=2          % wzmacnienie regulatora PID
Ti=2          % czas zdwojenia regulatora PID
Td=0.2        % czas wyprzedzenia regulatora PID
Tdf=0.1*Td    % stała czasowa elementu inercyjno-różniczkującego
Tt=0.5        % parametr dodatkowego sprzężenia w układzie anti_windup
ogr=1         % ograniczenie w układzie anti-windup
%Tp=(Tmin)/N  % czas próbkowania
```



Rys.4 Schemat blokowy regulatorów PID (anti-windup oraz windup) o dwóch stopniach swobody

Tablice transformat Laplace'a i \mathcal{Z}

$f(t)$	$f(nT_p)$	$F(s) = \mathcal{L}\{f(t)\}$	$\hat{F}(z) = \mathcal{Z}\{f(nT_p)\}$
$\delta(t)$	$\delta(nT_p)$	1	1
$\delta(t - kT_p)$	$\delta[(n - k)T_p]$	$e^{-kT_p s}$	z^{-k}
$\mathbb{1}(t)$	$\mathbb{1}(nT_p)$	$\frac{1}{s}$	$\frac{z}{z-1}$
t	nT_p	$\frac{1}{s^2}$	$T_p \frac{z}{(z-1)^2}$
t^2	$(nT_p)^2$	$\frac{2}{s^3}$	$T_p^2 \frac{z(z+1)}{(z-1)^3}$
e^{-at}	$e^{-a(nT_p)}$	$\frac{1}{s+a}$	$\frac{z}{z - e^{-aT_p}}$
e^{at}	$e^{a(nT_p)}$	$\frac{1}{s-a}$	$\frac{z}{z - e^{aT_p}}$
$\sin \omega t$	$\sin \omega(nT_p)$	$\frac{\omega}{s^2 + \omega^2}$	$\frac{z \sin \omega T_p}{z^2 - 2z \cos \omega T_p + 1}$
$\cos \omega t$	$\cos \omega(nT_p)$	$\frac{s}{s^2 + \omega^2}$	$\frac{z^2 - z \cos \omega T_p}{z^2 - 2z \cos \omega T_p + 1}$
$\cos \frac{\pi}{T_p} t$	$\cos \underbrace{n\pi}_{\omega = \frac{\pi}{T_p}} = (-1)^n$	—	$\frac{z}{z+1}$
$e^{-at} \sin \omega t$	$e^{-a(nT_p)} \sin \omega(nT_p)$	$\frac{\omega}{(s+a)^2 + \omega^2}$	$\frac{ze^{-aT_p} \sin \omega T_p}{z^2 - 2ze^{-aT_p} \cos \omega T_p + e^{-2aT_p}}$
$e^{-at} \cos \omega t$	$e^{-a(nT_p)} \cos \omega(nT_p)$	$\frac{s+a}{(s+a)^2 + \omega^2}$	$\frac{z^2 - ze^{-aT_p} \cos \omega T_p}{z^2 - 2ze^{-aT_p} \cos \omega T_p + e^{-2aT_p}}$
$e^{-at} \cos \frac{\pi}{T_p} t$	$e^{-a(nT_p)} \cos \underbrace{n\pi}_{\omega = \frac{\pi}{T_p}}$	—	$\frac{z}{z + e^{-aT_p}}$

